

СЛОЖНЫЕ ВОЛНОВОДЫ ЖЕЛОБКОВОГО ТИПА С НЕСИММЕТРИЧНЫМ ПОПЕРЕЧНЫМ СЕЧЕНИЕМ

Г. К. Снурникова

Харьков

Закрытые волноводы сложного поперечного сечения желобкового типа пригодны для канализации энергии в сантиметровом и миллиметровом диапазонах волн, когда необходимо увеличить поперечные размеры волновода, сохраняя значение критической частоты. Обычно при решении задач о распространении электромагнитных волн в таких системах рассматривались волноводы с симметричным поперечным сечением [1—5].

В настоящей работе в строгой постановке решена электродинамическая задача о собственных волнах, распространяющихся в волноводах с несимметричным поперечным сечением желобкового типа. Полученные при этом бесконечные системы линейных алгебраических уравнений позволяют численно найти параметры системы без ограничений на длину волны и размеры волновода. В случае, когда высота выступа значительно больше высоты боковых областей волновода ($\frac{d}{b} \ll 1$), найдено приближенное решение систем уравнений в явном виде. Определены поля в аналитической форме.

Рассматриваемый закрытый желобковый волновод несимметричного поперечного сечения, показанный на рис. 1, представляет собой структуру с идеально проводящими стенками. Среда внутри волновода однородна, изотропна $\epsilon = \mu = 1$. Выделим в сечении волновода три области: область 1 — $-(a_1 + h) \leq x \leq -h$, $|y| \leq d$; область 2 — $|x| \leq h$, $|y| \leq b$; область 3 — $h \leq x \leq (a_2 + h)$, $|y| \leq d$.

Продольную составляющую поля H_z распространяющихся в волноводе H -волн в областях 1, 2, 3 будем искать в виде (временной множитель $e^{-i\omega t}$ опускаем)

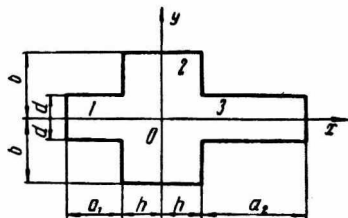


Рис. 1. Закрытый желобковый волновод несимметричного поперечного сечения.

$$H_{z1} = e^{i\gamma z} \sum_{m=0}^{\infty} [a_m e^{-iq_m(x+h)} + b_m e^{iq_m(x+h+a_1)}] \cos \frac{\pi m}{2d} (y + d); \quad (1)$$

$$H_{z2} = e^{i\gamma z} \sum_{n=-\infty}^{\infty} [c_n \cos p_n x + d_n \sin p_n x] e^{i \frac{\pi n}{b} y}; \quad (2)$$

$$H_{z3} = e^{i\gamma z} \sum_{m=0}^{\infty} [f_m e^{iq_m(x-h)} + g_m e^{-iq_m(x-h-a_2)}] \cos \frac{\pi m}{2d} (y + d), \quad (3)$$

где $a_m, b_m, c_n, d_n, f_m, g_m$ — неизвестные амплитудные коэффициенты Фурье-поля;

$$p_n = \sqrt{k^2 - \gamma^2 - \left(\frac{\pi n}{b}\right)^2}, \quad q_m = \sqrt{k^2 - \gamma^2 - \left(\frac{\pi m}{2d}\right)^2}$$

находятся из условия подчинения полей (1), (2), (3) волновому уравнению, причем знаки p_n и q_m определены так, что $\text{Im } p_n > 0$, $\text{Im } q_m > 0$. Обозначения размеров волновода и выбранная система координат показаны на рис. 1.

Поле в волноводе будет определено, если коэффициенты Фурье-поля $a_m, b_m, c_n, d_n, f_m, g_m$ подобраны таким образом, что на металлических поверхностях волновода выполняется условие $E_{\text{танг}} = 0$, а на границах областей 1, 2 и 2, 3 поле непрерывно. Эти условия приводят к функциональным соотношениям

$$\begin{aligned} b_m &= a_m e^{iq_m a_1}; \quad g_m = f_m e^{iq_m a_2}; \\ \sum_{n=-\infty}^{\infty} p_n (c_n \sin p_n h + d_n \cos p_n h) e^{i \frac{\pi n}{b} y} &= \\ &= \begin{cases} - \sum_{m=0}^{\infty} q_m A_m \sin q_m a_1 \cos \frac{\pi m}{2d} (y + d); \\ 0, \end{cases} \end{aligned}$$

$$\begin{aligned} & \sum_{n=-\infty}^{\infty} (c_n \cos p_n h - d_n \sin p_n h) e^{i \frac{\pi n}{b} y} = \\ & = \sum_{m=0}^{\infty} A_m \cos q_m a_1 \cos \frac{\pi m}{2d} (y + d); \end{aligned} \quad (4)$$

$$\begin{aligned} & \sum_{n=-\infty}^{\infty} p_n (c_n \sin p_n h - d_n \cos p_n h) e^{i \frac{\pi n}{b} y} = \\ & = \begin{cases} - \sum_{m=0}^{\infty} q_m F_m \sin q_m a_2 \cos \frac{\pi m}{2d} (y + d); \\ 0 \end{cases} \end{aligned}$$

$$\sum_{n=-\infty}^{\infty} (c_n \cos p_n h + d_n \sin p_n h) e^{i \frac{\pi n}{b} y} = \sum_{m=0}^{\infty} F_m \cos q_m a_2 \cos \frac{\pi m}{2d} (y + d),$$

где

$$A_m = 2a_m e^{i q_m a_1}; \quad F_m = 2f_m e^{i q_m a_2}.$$

Пользуясь полнотой системы функций $e^{i \frac{\pi n}{b} y}$ на интервале $(-b; b)$ и системы функций $\cos \frac{\pi m}{2d} (y + d)$ на интервале $(-d, d)$ [6], можно свести (4) к двум бесконечным системам линейных алгебраических уравнений второго рода относительно амплитудных коэффициентов c_n, d_n

$$p_n (c_n \sin p_n h + d_n \cos p_n h) = - \sum_{s=-\infty}^{\infty} (c_s \cos p_s h - d_s \sin p_s h) [U_{ns}^{(0)} + U_{ns}^{(m)}]; \quad (5)$$

$$p_n (c_n \sin p_n h - d_n \cos p_n h) = - \sum_{s=-\infty}^{\infty} (c_s \cos p_s h + d_s \sin p_s h) [V_{ns}^{(0)} + V_{ns}^{(m)}];$$

где

$$U_{ns}^{(0)} = \theta k_c \operatorname{tg} k_c a_1 S_{0n} S_{0s}, \quad V_{ns}^{(0)} = \theta k_c \operatorname{tg} k_c a_2 S_{0n} S_{0s};$$

$$U_{ns}^{(m)} = n s \theta^3 \sum_{m=1}^{\infty} q_m \operatorname{tg} q_m a_1 \frac{S_{mn} S_{ms}}{\left(n\theta + \frac{m}{2}\right) \left(s\theta + \frac{m}{2}\right)}; \quad S_{mn} = \frac{\sin \pi \left(n\theta - \frac{m}{2}\right)}{\pi \left(n\theta - \frac{m}{2}\right)};$$

$$V_{ns}^{(m)} = n s \theta^3 \sum_{m=1}^{\infty} q_m \operatorname{tg} q_m a_2 \frac{S_{mn} S_{ms}}{\left(n\theta + \frac{m}{2}\right) \left(s\theta + \frac{m}{2}\right)}; \quad S_{mz} = \frac{\sin \pi \left(s\theta - \frac{m}{2}\right)}{\pi \left(s\theta - \frac{m}{2}\right)};$$

$$\theta = \frac{d}{b}; \quad k_c = \sqrt{k^2 - \gamma^2}.$$

Полученные системы линейных алгебраических уравнений представляют собой строгое решение задачи о распространении H -волн в закрытом несимметричном желобковом волноводе. Они дают возможность, используя ЭВМ, найти численным способом постоянную распространения и поля внутри структуры при произвольных геометрических размерах волновода и любой длине волны.

Подобные системы уравнений встречаются при изучении резонансных свойств структур с дифракционными решетками [7]. Характерной особенностью таких систем уравнений является то, что для неизвестных c_n, d_n не удается получить две независимые системы. Физически это означает, что в закрытом желобковом волноводе несимметричного поперечного сечения колебания симметричные и несимметричные относительно плоскости $x = 0$ связаны между собой. В симметричных системах желобкового типа, когда плоскость $x = 0$ является плоскостью симметрии волновода, такая связь между колебаниями отсутствует, колебания разделяются на симметричные и несимметричные, и в этом случае для коэффициентов Фурье-поля удается записать две независимые системы уравнений.

Нахождение параметров волновода в общем случае численным решением систем уравнений (5) связано с довольно трудоемкими вычислениями. В случае, когда соотношение между размерами волновода d и b ($\theta = \frac{d}{b}$) таково, что $\theta^2 \ll 1$, удается получить приближенное решение систем уравнений (5) в явном виде, используя результаты работ [6, 7]. Решение систем уравнений (5) представим в виде

$$c_n = c_n^{(0)} + c_n^{(1)}; \quad d_n = d_n^{(0)} + d_n^{(1)}. \quad (6)$$

где $c_n^{(0)}, d_n^{(0)}$ — решение данных систем, когда $U_{ns}^{(m)} = 0, V_{ns}^{(m)} = 0$; $c_n^{(1)}, d_n^{(1)}$ — малые добавки, пропорциональные, как можно показать, θ^3 . Полученные в результате такого представления решения (6) системы уравнений (5) приобретают вид

$$c_n^{(0)} = -\frac{\theta k_c h S_{0n}}{2\varphi_n \sin \varphi_n} \sum_{s=-\infty}^{\infty} [c_s^{(0)} \cos \varphi_s (\operatorname{tg} \alpha + \operatorname{tg} \beta) - d_s^{(0)} \sin \varphi_s (\operatorname{tg} \alpha - \operatorname{tg} \beta)] S_{0s}; \quad (7)$$

$$d_n^{(0)} = -\frac{\theta k_c h S_{0n}}{2\varphi_n \cos \varphi_n} \sum_{s=-\infty}^{\infty} [c_s^{(0)} \cos \varphi_s (\operatorname{tg} \alpha - \operatorname{tg} \beta) - d_s^{(0)} \sin \varphi_s (\operatorname{tg} \alpha + \operatorname{tg} \beta)] S_{0s}, \quad (8)$$

где

$$\alpha = k_c a_1; \quad \beta = k_c a_2; \quad \varphi_n = p_n h; \quad \varphi_s = p_s h.$$

Решение уравнений (7), (8) ищем в виде

$$c_n^{(0)} = \xi \frac{S_{0n}}{\varphi_n \sin \varphi_n} + d_n^{(0)} \frac{\sin(\alpha - \beta)}{\sin(\alpha + \beta)} \operatorname{tg} \varphi_n; \quad (9)$$

$$d_n^{(0)} = \eta \frac{S_{0n}}{\varphi_n \cos \varphi_n} + c_n^{(0)} \frac{\sin(\alpha - \beta)}{\sin(\alpha + \beta)} \operatorname{ctg} \varphi_n, \quad (10)$$

где ξ , η — неизвестные константы. Подставляя значение $c_n^{(0)}$, $d_n^{(0)}$ из (9), (10) в (7), (8), получим систему уравнений относительно ξ , η , условием существования решения которой является равенство нулю ее определителя

$$\begin{vmatrix} \Psi(\operatorname{tg} \alpha - \operatorname{tg} \beta) & - [2 - \Phi(\operatorname{tg} \alpha + \operatorname{tg} \beta)] \\ 2 + \Psi(\operatorname{tg} \alpha + \operatorname{tg} \beta) & \Phi(\operatorname{tg} \alpha - \operatorname{tg} \beta) \end{vmatrix} = 0, \quad (11)$$

где

$$\Psi = \theta k_c h \sum_{s=-\infty}^{\infty} \frac{\operatorname{ctg} \varphi_s}{\varphi_s} S_{0s}^2; \quad \Phi = \theta k_c h \sum_{s=-\infty}^{\infty} \frac{\operatorname{tg} \varphi_s}{\varphi_s} S_{0s}^2.$$

После преобразований имеем

$$(\operatorname{ctg} \alpha + \Psi)(\operatorname{ctg} \beta - \Phi) + (\operatorname{ctg} \beta + \Psi)(\operatorname{ctg} \alpha - \Phi) = 0. \quad (12)$$

Это уравнение, связывающее искомую постоянную распространения с длиной волны и геометрическими размерами поперечного сечения волновода, есть дисперсионное уравнение несимметричного закрытого желобкового волновода при значениях $\theta^2 \ll \ll 1$. Для малых значений θ и $x = \frac{kb}{\pi} < \frac{1}{2}$ при решении дисперсионного уравнения (12) можно пользоваться приближенными значениями Ψ и Φ

$$\begin{aligned} \Psi &= \theta \left(\operatorname{ctg} k_c h + 2 \frac{k_c h}{\pi} \rho \ln \sin \frac{\pi \theta}{2} \right); \\ \Phi &= \theta \left(\operatorname{tg} k_c h - 2 \frac{k_c h}{\pi} \rho \ln \sin \frac{\pi \theta}{2} \right), \quad \rho = \frac{b}{h}. \end{aligned} \quad (13)$$

Из вида уравнения (12) можно заключить, что в несимметричном желобковом волноводе существуют связанные между собой симметричные и несимметричные типы колебаний. В случае, когда $a_1 = a_2$, уравнение (12) распадается на два уравнения

$$\operatorname{ctg} \alpha - \Psi = 0, \quad \operatorname{ctg} \alpha - \Phi = 0, \quad (14)$$

которые соответствуют симметричным и несимметричным H -волнам в симметричной структуре. Иными словами, при $a_1 = a_2$ имеем разделение типов колебаний на симметричные и несимметричные H -колебания.

Если при возбуждении волновода выполняются условия $\operatorname{ctg} \alpha + \Psi = 0$ либо $\operatorname{ctg} \beta + \Psi = 0$,

из уравнения (12) следует, что между a_1 и a_2 имеет место соотношение

$$a_1 - a_2 = \frac{N\lambda_0}{2} \left(1 - \frac{\nu^2}{x^2}\right)^{-\frac{1}{2}}, \quad \nu = \frac{\gamma b}{\pi}, \quad N = 0, \pm 1, \pm 2, \dots$$

Такая же связь существует между a_1 и a_2 , если выполняются условия

$$\operatorname{ctg} \alpha - \Phi = 0 \quad \text{либо} \quad \operatorname{ctg} \beta - \Phi = 0.$$

Из уравнения (12) можно получить и другие соотношения между размерами волновода и длиной волны. Например, для значений $a_1 = \frac{N\lambda_0}{2} \left(1 - \frac{\nu^2}{x^2}\right)^{-\frac{1}{2}}$ ($N = 1, 2, \dots$) размер a_2 определяется из соотношения

$$\operatorname{ctg} k_c a_2 = \theta \left(\operatorname{ctg} 2k_c h + 2 \frac{k_c h}{\pi} \rho \ln \sin \frac{\pi \theta}{2} \right).$$

При

$$\begin{aligned} h &= \frac{2N-1}{8} \lambda_0 \left(1 - \frac{\nu^2}{x^2}\right)^{-\frac{1}{2}} \quad (N = 1, 2, \dots) \operatorname{ctg} k_c a_2 = \\ &= \frac{2N-1}{2} \rho \theta \ln \sin \frac{\pi \theta}{2}, \end{aligned}$$

при

$$\operatorname{ctg} 2k_c h = -2 \frac{k_c h}{\pi} \rho \ln \sin \frac{\pi \theta}{2} \quad a_2 = \frac{2N-1}{4} \lambda_0 \left(1 - \frac{\nu^2}{x^2}\right)^{-\frac{1}{2}}.$$

В случае $2h = \frac{N\lambda_0}{2} \left(1 - \frac{\nu^2}{x^2}\right)^{-\frac{1}{2}}$ ($N = 1, 2, \dots$) дисперсионное уравнение (12) упрощается и принимает вид

$$\operatorname{ctg} \alpha + \operatorname{ctg} \beta = -2\theta N \rho \ln \sin \frac{\pi \theta}{2}. \quad (15)$$

Отсюда легко найти связь между a_1 и a_2 для различных значений θ и ρ . На рис. 2—4 представлены эти зависимости, рассчитанные по формуле (15), в случае $\beta = \frac{2M+1}{2} \pi$ для $N = 1, M = 0$; при этом связь между a_2 и h выражается следующим образом: $(2M+1)h = Na_2$. Для $N = 1, M = 0, h = a_2$.

Определим поля в закрытом желобковом волноводе с несимметричным поперечным сечением. Для этого выделим в системах уравнений (5) нулевую пространственную гармонику c_0 (либо d_0) и выразим все n -е гармоники c_n, d_n ($n \neq 0$) через нулевую.

При малых значениях θ ($\theta^2 \ll 1$) и $x < \frac{1}{2}$ оказывается возможным записать поле в областях волновода 1, 2, 3 в аналитической форме

$$H_{z1} = -2d_0 \frac{\Phi \cos k_c h}{\theta(2+u\Psi)} e^{i\gamma z} (1 + \Psi \operatorname{tg} k_c a_2) \frac{\cos k_c (x+h+a_1)}{\cos k_c a_1};$$

$$H_{z2} = d_0 e^{i\gamma z} \cos k_c h \left[\frac{v\Psi}{2+u\Psi} \left(\frac{\cos k_c x}{\sin k_c h} + \sigma_1 \right) + \left(\frac{\sin k_c x}{\cos k_c h} + \sigma_2 \right) \right];$$

$$H_{z3} = 2d_0 \frac{\Phi \cos k_c h}{\theta(2+u\Psi)} e^{i\gamma z} (1 + \Psi \operatorname{tg} k_c a_1) \frac{\cos k_c (x-h-a_2)}{\cos k_c a_2};$$

$$u = \operatorname{tg} \alpha + \operatorname{tg} \beta; \quad v = \operatorname{tg} \alpha - \operatorname{tg} \beta;$$

$$\sigma_1 = 2k_c \sum_{n=1}^{\infty} \frac{\cos p_n x}{p_n \sin p_n h} S_{0n} \cos \frac{\pi n}{b} y; \quad \sigma_2 = 2k_c \sum_{n=1}^{\infty} \frac{\sin p_n x}{p_n \cos p_n h} S_{0n} \cos \frac{\pi n}{b} y.$$

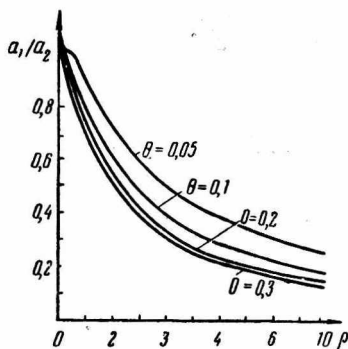


Рис. 2. Зависимость соотношения между размерами волновода $\frac{a_1}{a_2}$ от параметра ρ для различных значений θ .

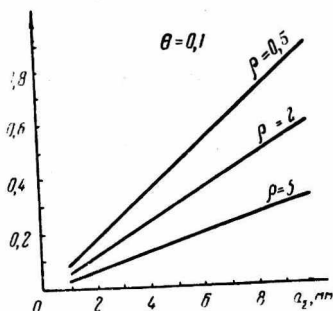


Рис. 3. Связь между a_1 и a_2 при постоянных θ и ρ .

Можно показать, что

$$|\sigma_i| < \frac{C}{1 - e^{-\frac{\pi}{b}(h-x)}}, \quad i = 1, 2,$$

где $(h-x) > 0$; C — некоторая константа, зависящая от размера волновода b и λ_c ; $C = \frac{4b}{\lambda_c}$. Для значений $x = h$

$$|\sigma_i| < C \cdot \frac{\pi^2}{6}, \quad i = 1, 2.$$

Таким образом, используемый в работе способ решения задачи о распространении электромагнитных волн в закрытом желобковом волноводе с несимметричным поперечным сечением позволяет определить поля в структуре в аналитической форме. В таком волноводе существуют связанные между собой симметричные и несимметричные колебания. Найдены условия разделения этих типов колебаний.

Автор выражает благодарность В. П. Шестопалову и О. А. Третьякову за постоянный интерес и внимание к работе.

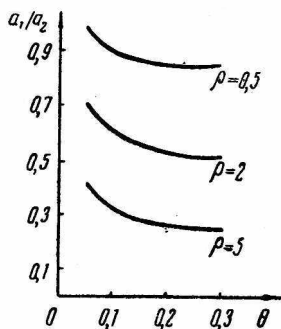


Рис. 4. Зависимость соотношения $\frac{a_1}{a_2}$ от параметра θ для $\rho = 0,5; 2; 5$.

ЛИТЕРАТУРА

1. В. М. Седы х. Исследование волноводов крестообразной и H -образной формы поперечного сечения. Автореф. канд. дисс., Харьков, 1960.
2. А. Я. Яшкин. Волноводы и резонаторы сложной формы. Автореф. докт. дисс., Москва, 1966.
3. Н. Н. Малов. Приближенный расчет критической волны T -образного волновода. Учен. зап. МГПИ им. В. И. Ленина, т. 88, 1954.
4. Б. Л. Пичугин. Измерение критических волн в волноводах сложной формы. Учен. зап. МГПИ им. В. И. Ленина, т. 88, 1954.
5. Hiroshi Shigesawa, Key Takiyama. On the Study of a Close Grooved Guide. The Science and Engin. Rev. of Doshisha Univ., 1968, 9, 1, p. 9—40.
6. В. Г. Сологуб. Наклонное падение H -поляризованной плоской волны на периодическую решетку, составленную из брусьев прямоугольного сечения. Сб. «Радиотехника», вып. 4. Изд-во ХГУ, Харьков, 1967.
7. С. С. Третьякова, О. А. Третьяков. Резонансные свойства систем с дифракционными решетками. Сб. «Радиотехника», вып. 10. Изд-во ХГУ, Харьков, 1969.